# 二氧化硅填充NR胶料后硬化效应 的研究

章羽 编译

(全国橡塑机械信息中心, 北京 100143)

# 1 导言

未硫化天然橡胶(NR)在储存过程中通常会变得更硬。这种储存硬化效应是由天然聚合物中的非橡胶化学基团的自发交联引起的。然而,硫化后NR在储存过程中硬度的增加,即后硬化效应,尚未得到详细研究。天然橡胶通常用于减震应用,如车辆发动机悬挂装置。这些产品需要优异的静态和动态刚度,以及良好的阻尼性能和能量吸收。硫化材料性能的变化,如后硬化,会影响性能。为了维持良好的性能,在使用过程中应确保材料的硬度和刚度等特性不受影响,同时需对产品进行长期储存。此外,必须对后硬化效应进行深入调查,以明确其成因,并有效减少NR中的该效应。

胶料硬度增加的原因可在文献中找到。例如,橡胶成分的析出、聚合物链的结晶以及紫外线辐射等环境影响。然而,这些效应不太可能导致在封闭环境中储存的胶料出现严重的后硬化效应。另一个可能影响后硬化效应的因素是交联密度和结构的变化。

橡胶的硫化可通过过氧化物硫化或硫硫化实现。使用过氧化物会形成C—C键,而向胶料中添加硫化剂包则会在聚合物的烃链之间形成硫交联。硫键有不同类型:单硫键(C—S—C)、双硫键(C—S2—C)和多硫键(C—Sn—C)。C—C键的键解离能高于C—S和S—S键的键解离能。因此,可以得出结论,多硫键的平均稳定性低于单硫键。

胶料中使用的硫化体系会影响硫键交联的长度。 具有传统硫化体系(CV体系)的胶料含有高硫浓度和 低促进剂浓度。因此,CV系统产生大量的多硫化物 键和高度柔性的材料。CV系统的一个缺点是材料的 抗老化性较差。另一种可能的硫化体系是高效硫化体 系(EV体系),其中促进剂的量比添加的硫高,主要 形成单硫键。电动汽车系统的一大优势是其出色的耐 热老化性能。然而,带有电动汽车系统的材料柔性较 差。半高效硫化系统(SEV系统)含有相似量的硫和促进剂,这导致材料具有几乎相同量的聚、二和单硫键。

导致后硬化效应的原因可能是在储存过程中多硫化键断裂,而这些断裂的键会形成新的较短键。这将导致交联网络密度增加,且交联数量更多、长度更短。由于交联密度与硬度直接相关(图1),交联密度增加可能是后硬化效应的原因。

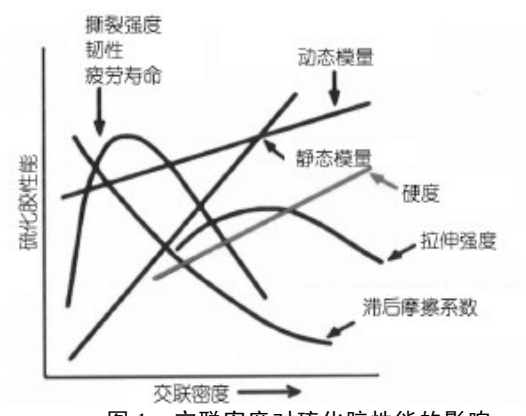


图 1 交联密度对硫化胶性能的影响

在这项研究中,研究了具有CV硫化体系的二氧化 硅填充NR胶料的后硬化效应。选择传统的硫化体系作 为对照组胶料,因为该体系主要产生多硫化物键。因 此,可以详细研究交联密度和结构的假设变化。多种 方法可用于评估胶料的交联密度和结构。本研究选择 了温度扫描应力弛豫(TSSR)和硫醇胺法。硫化材料 在室温(RT)和60 ℃的烘箱中储存,在12周的时间 里,测量并评估了硬度和交联结构。

#### 2 材料与方法

# 2.1 材料

本研究中使用的聚合物为天然橡胶类型 NRTSRCV60(Weber&Schaer,汉堡,德国)。填料 选用炭黑N990(CancarbLimited,加拿大梅迪辛哈

13

# 技术与装备

特)和二氧化硅PKS300PD(W.R.Grace&Co.美国马里 兰州哥伦比亚)。所用的硅烷为Si-69(50)(Kettliz-Chemie, 德国雷纳茨霍芬),该硅烷使用二氧化硅作 为载体。

作为硫化剂,选择了传统的系统。硫(Avokal,德国伍珀塔尔)作为硫化剂添加到胶料中。促进剂N-环己基苯并噻唑-2-磺酰胺(CBS)和Rhenofit3555由朗盛(德国科隆)提供。硫化促进剂四苄基硫化二硫化物(TBzTD)由意大利Termoli的PerformanceAdditives提供。

此外,根据行业标准,在胶料中添加了硫化促进剂、蜡和各种抗氧化剂。表1是对照组胶料的橡胶配方,其中包括橡胶成分供应商的信息。

## 2.2 混炼和硫化

将胶料在密炼机BrabenderPlasticorder350S(德国杜伊斯堡)中进行混炼,混炼体积为390 cm³。

未硫化的试品使用橡胶加工分析仪RPATAElite(TA仪器公司,美国新卡斯尔)进行测量,测量时间为30 min,采用6.98%的应变、1.667 Hz的频率和160 °C的温度,以获得流变仪曲线。获得 $t_{95}$ (在给定测量时间内达到最大扭矩95%的时间),并将其作为硫化过程的硫化时间。在160 °C的硫化温度和100巴的压力下,使用WickertWLP1600液压机(Wickert,德国兰道)对胶料进行硫化。制备了厚度为2 mm的硫化片材和厚度为6 mm的圆柱形试品,用于分析评估。

#### 2.3 测试与表征

#### 2.3.1 邵A硬度

试品的硬度测试按照ISO48-4标准进行。测量时采用邵A硬度计,使用Zwick(德国乌尔姆)生产的硬度测试仪进行测量。试品为直径6 mm的圆柱体,按照+5°min的条件进行硫化。在每个试品的不同位置测量硬度5次。随后,计算这5个值的平均值并用于评估。

# 2.3.2 温度扫描应力弛豫

本研究使用了来自Brabender(德国杜伊斯堡)的温度扫描应力弛豫(TSSR)装置。制备厚度为2 mm的标准S2哑铃形试品,用TSSR进行测量。在测量的等热阶段,温度保持在20°C,应变保持在50%,持续90min。等温阶段后,进行等温热测量,其中温度以2 K/min的速度升高,直到达到280°C的温度或直到试品破裂。在这些测试中获得了弛豫光谱。

#### 2.3.3 硫醇胺法

从一种胶料中制备了5个约50 mg的试品。首先,测量了初始质量。其次,所有试品在甲苯中预溶胀24 min。然后将装有甲苯和橡胶试品的烧瓶放置在类似于申克生产线的装置中30 min,通过将氮气引入烧瓶来去除氧气。之后,根据两种不同的化学探针处理对试品进行处理:

- (1) 软探针:将橡胶试品置于0.4 mol/L 2-丙硫醇和0.4 mol/L 哌啶的甲苯溶液中2 h. 以裂解多硫键。
- (2) 硬探针:将试品置于1.0 mol/L 1-十二烷硫醇的哌啶溶液中24 h,以裂解聚硫键和二硫键。

处理结束后,从溶液中取出试品。试品在甲苯中漂洗四次,以去除处理溶液的残留物。为了获得试品的交联密度,进行了溶胀实验。将试品置于甲苯中约48 h,以完全达到溶胀平衡。24 h后更换溶剂。

膨胀后,用镊子小心地将试品从烧瓶中取出,用纸巾干燥并再次称重。此后,将膨胀的试品放入50°C的烤箱中干燥3~4天。之后,再次称量试品。根据Flory-Rehner方程,使用三个获得的质量来计算交联密度:

$$V = \frac{ln(1-V_r) + V_r + XV_r^2}{V_0 \left(V_r^{\frac{1}{3}} - \frac{2V_r}{f}\right)}$$

式中:

 $V_r$ =体积百分比/分数橡胶在膨胀试品中的含量 (-);

 $V_0$ =溶剂的摩尔体积(苯的摩尔体积为 $106.9 \text{ cm}^{3/7}$  mol);

f=交联功能性(假设形成四功能性交联,f=4); x=Flory-Huggins橡胶-溶剂相互作用参数(NR在 甲苯中的x=0.393);

v=单位体积内的交联密度(mol/cm³)。

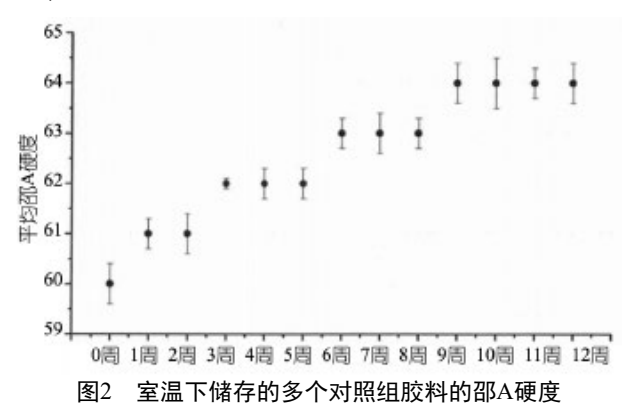
计算了未处理试品和用软探针和硬探针处理的试 品的交联密度。比较了不同的交联密度,以了解胶料 的交联结构。

#### 3 结果和讨论

按照第2章的要求混炼并硫化胶料。最佳固化时间 $t_{95}$ 为420 s。硫化后,将试品储存在约20  $^{\circ}$ C的室温(RT)下以及60  $^{\circ}$ C的烘箱中。后者是为了加速硬化效果,并更深入地了解在较长时间内储存过程中硬度的增加。分析分析试品在储存前后的状态。

#### 3.1 硬度

连续十二周每周进行硬度测试,以调查对照组胶料中是否出现后硬化效应。根据储存时间评估对照组胶料的邵A硬度。图2显示了室温下储存的试品的结果,图3显示了60℃下储存的试品的结果。



图表显示,所有测试试品的硬度都会随时间增加。在室温下储存的试品在12周后显示出约4邵A硬度的增加,而在60°C的烤箱中储存的试品,在相同的储存时间后显示出更严重的约11邵A硬度增加。考虑到+2邵A硬度试验装置的测量误差,在室温下储存的试品的硬度增加很小,但并不明显。然而,在高温下储存的试品的邵A硬度显著增加,增加了18%。因此,可以得出结论,硫化NR模型胶中确实存在后硬化效应,并且随着储存温度的升高,后硬化效应会加速。

在室温(RT)和60°C条件下储存的试品邵A硬度增加速度随储存时间的延长而略有减缓。这或许表明交联结构的变化已趋于稳定,达到平台期。推测在一定储存时间后,所有多硫键可能均已断裂并重新形成了单硫键。然而,鉴于本研究中储存温度偏低且储存时间较短,未能观察到该平台期的出现。

## 3.2 温度扫描应力弛豫

在储存前、储存4~5周后和储存13周后,用对照组胶料进行TSSR测量。图4显示了20~280°C温度范围内获得的相对光谱。

从弛豫光谱可以得出结论,储存前测量的试品与在室温下储存5周的试品几乎相同。然而,在室温下储存13周后,光谱的变化变得可见。特别是在120~170 ℃之间,弛豫光谱有所增加。此外,弛豫谱的最大峰值向较低温度偏移。在60 ℃下储存的试品显示出不同的结果。该试品的弛豫光谱在120~170 ℃之间显示出更高的峰值,而在220 ℃左右的峰值有所下降。

在Yanthong等人的研究中,指出130°C附近的峰

值与多硫键的分解相关,而200 ℃附近的峰值则表明单硫键和二硫键的分解。此外,这些研究者发现,经过化学处理和多硫键断裂后,峰值会向更高温度移动。这一现象同样被Sek等人观察到。在采用此方法解释图4中的数据时,发现峰值并未向更高温度偏移,因此未形成额外的单硫键和二硫键。这表明多硫键在储存过程中增加,而单硫键和二硫键随储存时间减少。这与预期结果相反,正如引言中所描述的,多硫键断裂并形成新的单硫键。

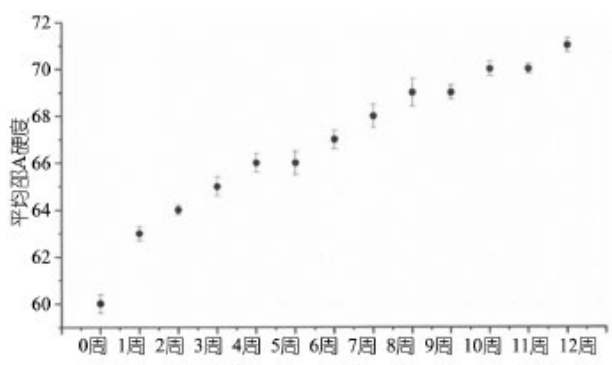


图 3 储存在 60 ℃下的对照组胶料的硬度

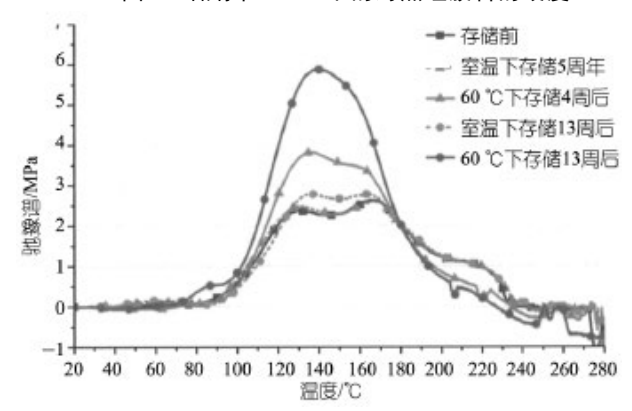


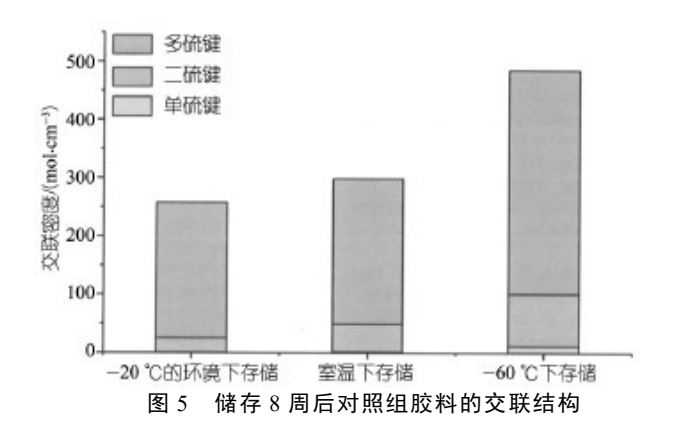
图 4 不同存储条件前后对照组胶料的弛豫光谱

# 3.3 硫醇胺法

由于TSSR结果显示出一个意外结果,因此采用 硫醇胺法对交联结构进行了评估,以验证新观察到的 趋势。图5展示了硫醇-胺法所得结果,其中交联密度 与不同储存条件呈正相关。值得注意的是,其中一个试品在-20 ℃下储存,因为测量无法在储存前直接进行。可以假设在低温下储存试品能够减缓老化过程,从而使试品与储存前的未老化试品保持最大相似度。

如图5所示,单、二和多硫键的交联密度都随着时间的推移而增加。据预测,这种增加对于在60°C下储存的试品最为明显,因为通常更高的温度会加速化学反应过程。这些结果证实了事实确实如此。

# 技术与装备



将试品相互比较,可以说单硫键的增加仅在60 ℃ 下储存的试品中清晰可见。除此之外,RT试品和60 ℃ 试品的二硫键都明显增加。在-20 ℃和室温下储存的试品中,多硫键的数量相似,而在60 ℃下储存的试品中,多硫化物键的数量显著增加。与TSSR结果相反,单硫键仅在60 ℃下储存的试品中可见。

交联密度的整体提升以及单硫键的轻微增多,可能是由于较高的储存温度促成了新的整体交联结构的 形成,而非导致其断裂。

Blume和Kiesewetter等人对测量交联密度和结构的 不同方法进行了研究和比较。基于对多种交联密度检 测方法结果的统计分析,作者认为硫醇胺法可能并不 适合用于检测所使用的二氧化硅填充胶料中的单硫键和双硫键。然而,在Blume和Kiesewetter的研究中,观察到了一些不合逻辑的现象。

在目前的研究中。尽管Blume和Kiesewetter的研究表明,应仔细分析硫醇胺法的结果,但该方法仍为当前的研究提供了有益的见解。在某些胶料中,单硫键的数量超过了交联的总量。在目前的研究中没有观察到这种不合逻辑的行为。尽管Blume和Kiesewetter的研究表明,应仔细分析硫醇胺法的结果,但该方法仍为当前的研究提供了有益的见解。TSSR结果仅与硫醇胺法的结果部分一致。在硫醇胺法中,单硫键和双硫键显示出轻微的增加,而在TSSR结果中,观察到这些键的减少。然而,在这两种方法中,多硫键都明显增加。因此,后硬化效应可以用储存过程中多硫化物键的增加来解释。

# 3.4 多硫键形成的原因

多硫键的形成可由后硫化过程来解释。在硫化过程中,只有7%的硫参与了胶料中的交联反应。此外,促进剂CBS会在硫化反应后形成2-巯基苯并噻唑(MBT),而MBT还可以进一步作为促进剂。该反应如图6所示。剩余的硫和MBT在储存期间可能会形成额外的交联。

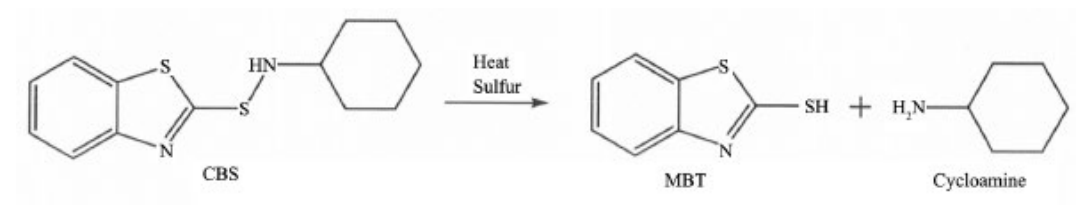


图 6 MBT 的化学结构及其形成过程

## 3.5 丙酮提取

在硫化过程后从试品中去除MBT应可减轻后硬化效应。为了验证这一概念,将硫化后的试品在索氏提取器中用丙酮提取24 h。然后,将试品在50 °C的烤箱中干燥3天。在储存之前,对对照组胶料和提取胶料进行了测量,并获得了它们的硬度和弛豫光谱。在储存期间,每周测量胶料的硬度。在60 °C的烘箱中储存4周后,再次进行TSSR测量并测量弛豫光谱。提取的试品的初始硬度高于对照组胶料,因为除了MBT外,还提取了其他成分,如蜡和抗氧化剂。关注硬度增加,可以发现对照组胶料的邵A值增加了7,而提取的胶料仅显示邵A增加了4。这表明提取试品的后硬化效应确

实降低了。除了硬度测量外,还用TSSR测量了提取的试品。图7显示了提取胶料在储存四周前后的弛豫光谱。

图7中的弛豫光谱显示,储存后,对照组胶料在120~170°C之间的峰高急剧增加,如虚线箭头所示。而提取胶料的峰高增加相对较轻(用实线箭头表示)。此外,提取胶料的光谱形状与对照组胶料存在差异。对照组胶料呈现一个具有两个肩部的较宽峰,而提取试品的弛豫光谱则表现为一个清晰的单一峰。然而,当比较储存前后的胶料时,光谱形状基本相似。这可能表明,提取胶料的交联密度和结构相较于对照组胶料并未发生显著变化。硬度和TSSR的测试结

果均显示,去除MBT的胶料后硬化效果有所减弱。

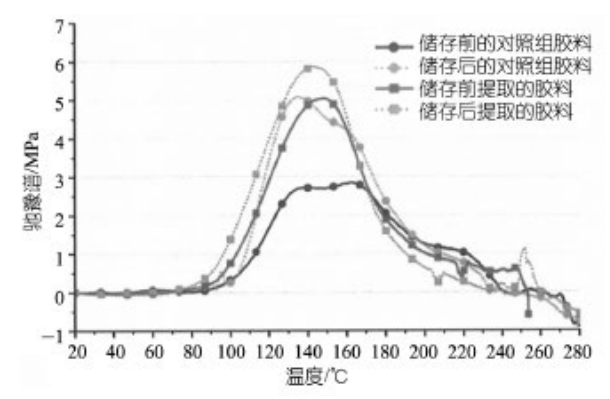


图 7 在 60 ℃下储存 4 周, 试品前后的弛豫光谱

# 4 结论

未硫化天然橡胶的储存硬化是一种常见现象。然而,文献中对硫化天然橡胶(NR)在储存过程中发生的后硬化现象尚未进行详细研究。由于天然橡胶常用于动态应用,如发动机支架,因此材料的性能在储存过程中必须得到保持。在这项研究中,我们调查了采用传统硫化系统硫化的二氧化硅填充天然橡胶在储存期间的后硬化效应。

在储存期间,在室温和60°C的条件下对试品进行 硬度测量显示,硬度有所增加,对于储存在烤箱中的 试品而言,这种增加尤为明显。预期在储存过程中, 多硫键会断裂并形成新的单硫键和二硫键,从而形成 更致密的交联网络并导致硬度增加。

在这项研究中,我们证实了交联密度的确有所增加。然而,TSSR测量中的一个意外发现显示,多硫键的数量增加了。硫醇胺测量进一步验证了这一增长趋势。这两种方法均表明,交联密度的增加主要源于多硫化物键的增多。

为了进行概念验证实验,我们使用丙酮提取胶料,并观察了在60 ℃下储存前后的变化。结果显示,硬度增加幅度较小,相对光谱变化也不显著。这两个结果均指向一个结论:在提取过程中,胶料中MBT的重新移动导致了后硬化效应的减弱。

因此,可以推断,后硬化现象是由残余MBT加速的后硫化效应所引起的。为了更有效地减少行业中的后硬化效应,迫切需要在胶料中寻找一种合适的CBS替代品,以确保产生非反应性副产品。

译者:章羽

原文: KGK No.1/2025, by Frances van Elburg, Fabian Grunert Auke Talma, Anke Blume, Enschede, The Netherlands Anne Risthaus, Damme, Germany

#### (上接第1页)

14.9%;绿色材料供给增加,碳纤维、生物基化学纤维等产品产量分别增长62.0%、22.8%。

总体看,8月份工业生产稳中有进,新质生产力不断培育壮大。但也要看到,有效需求偏弱、企业盈利承压等困难依然存在。下阶段,要完整准确全面贯

彻新发展理念,加快构建新发展格局,深入实施"人工智能+"行动,加力支持科技创新,加快培育新质生产力,巩固拓展工业经济稳中向好势头。

摘编自"国家统计局"

